# プラント増設業務における既存設備モデリングシステムの開発

機械システム科 主任研究員 小楠 進 一

増設業務を行う際にプラントの図面が必要となるが、図面が現状のプラント形状を示していないことがたびた び起こる。測定工具を用いて寸法を測定し、作図することは手間なので、レーザースキャナーが販売されている が、高価であることなどの理由から県内企業に普及していない。そこで、本研究では、代替システムである「既 存設備モデリングシステム」を開発し、これを評価した。さらに、増設モデルの寸法を調整する「ホログラム合 わせ」を提案し、これを評価した。

#### 1. 緒言

長崎県は、溶接・製缶を得意としており、プラントの増設業務を取り扱う企業が多い。増設業務を行う際にプラントの図面が必要となるが、増築や廃棄によって図面が現状のプラント形状を示していないことがたびたび起こる。このとき、スケールやノギスなどの測定工具を用いて寸法を測定し、作図するが、測定誤差が生じやすく、とても面倒な作業となる。

これらの問題を解決するため、設置した位置から長 距離用レーザーを周囲に飛ばしてプラント形状を測定 するレーザースキャナーが販売されている。しかし、 (a)死角が多い室内では、設置作業が増え手間になるこ と、(b)高所や不安定な場所および狭所では、設置自体 が難しいこと、(c)レーザースキャナーが高価であるこ となどの理由から、県内企業に普及していない。

そこで、本研究では、上記問題の解決に向けて、図1に示す「既存設備モデリングシステム」を開発した。 既存設備モデリングシステムの「移動計測式スキャンシステム」では、測定範囲は狭いが安価な RGBD カメラを用いてプラント形状の一部を測定し、いくつかのプラント形状の一部を合成することで数十メートルのプラント形状を取得する。その後、MeshLab [1]を用いて、数十メートルのプラント形状を取得する。

また、既存設備モデリングシステムは、形状合成を使用するので、1ショットで測定するレーザースキャナーと比べて生成したプラント形状の誤差が大きい。そこで、MRを活用して「ホログラム合わせ」を行い、プラント形状を用いて作成した増設モデルの誤差を軽減することにした。なお、「ホログラム合わせ」については、以下の章で詳細を説明する。

本報では、試作した「既存設備モデリングシステム」 の評価結果及び「ホログラム合わせ」の評価結果を報 告する。

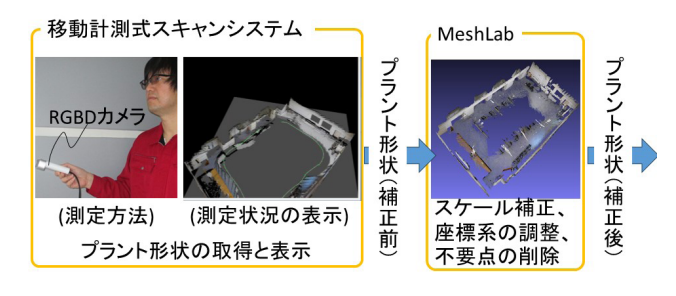


図1 既存設備モデリングシステム

# 2. 既存設備モデリングシステム

#### 2. 1 移動計測式スキャンシステム

図2に試作した移動計測式スキャンシステムを示す。 3次元形状を測定する RGBD カメラとして、AzureKinectDK (ToF法)、RealSenceD455(アクティブステレオ法)、ZED2 (パッシブステレオ法) などが考えられるが、距離精度を求めて AzureKinectDK (ToF法)を選択した。さらに、AzureKinectDK において、長距離測定ができ、RGB カメラとのオーバーラップ性がよい NFoV モードを選択し、ノイズを減らすために2×2ビニングを行うこととした。なお、2×2ビニングとは、個々のピクセルで読み取るのではなく、隣接するピクセルを組み合わせて一緒に読み取る手法であり、解像度を犠牲にしてノイズを減らす手法のことである。

また、形状合成ソフトウェアは、これまでに、Kinect for Windows SDK  $2.0^{[2]}$ や PCL [3]を活用し、ICP (Iterative Closest Point) [4]による形状合成を行うものを試作してきた。しかし、幅 $7m \times$ 高さ2.6mの壁の測定において、合成結果が歪むことがあった[5]。そこで、今回は、Qt [6]やrtabmap [7]などを活用し、グラフ最適化[8]による形状合成を行うものを試作した。図 3 に試作した形状合成ソフトウェアのフローチャートを示す。



図2 移動計測式スキャンシステム

カメラスレッド、オドメトリスレッド、最適化スレッド、 Qtウィンドウの生成 オドメトリスレッド、グラフ最適化スレッド、 Qtウィンドウのイベントハンドラを登録 カメラスレッドとオドメトリスレッドをパイプで繋ぐ グラフ最適化スレッド、オドメトリスレッド、 カメラスレッドの開始 Qtウィンドウの表示、ウィンドウが閉じるまでループ Qtウィンドウ、グラフ最適化スレッド、 オドメトリスレッドのイベントハンドラを削除 カメラスレッド、オドメトリスレッド、 グラフ最適化スレッドの終了 グラフデータの取得 グラフデータから3Dカラー点群の生成 3Dカラー点群、軌跡のファイルの出力 図3 形状合成ソフトウェアのフローチャート

# 2. 2 評価方法

移動計測式スキャンシステムを評価するため、図4に示す会議室に4枚の緑色のマーカーを貼り、移動計測式スキャンシステムを用いて会議室の形状を10回測定し、この結果から縦方向の2点間距離 H と横方向の2点間距離 W を抽出して、校正値とするレーザー距離計の結果と比較して測定誤差を算出した。

移動計測式スキャンシステムを用いた測定にあたっては、図5に示すとおり、RGBD カメラと PC を高さ660 mm の台車にのせ、RGBD カメラを進行方向に対して斜め45 度に向け、図6に示す移動経路を通って測定した。

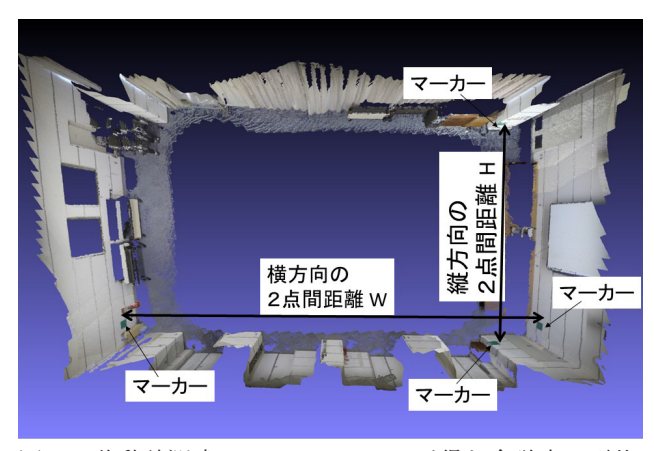


図4 移動計測式スキャンシステムが得た会議室の形状



図5 カメラと PC を乗せた台車

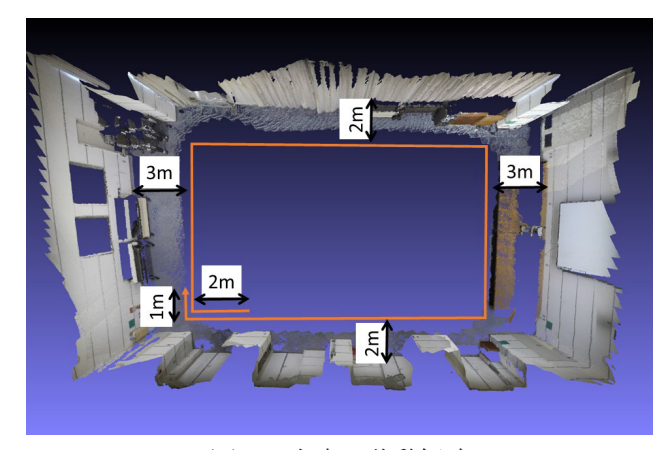


図6 台車の移動経路

なお、図6の左下の場所は、移動経路の始点と終点が重なるため、形状合成においてばらつきが大きく生じやすいと考えられる。そこで、横方向の2点間距離のばらつきを大きくするため、あえて横方向の2点間距離の1点をこの場所に選んだ。

また、既存設備モデリングシステムでは、図1に示すとおり、移動計測式スキャンシステムを用いてプラント形状を測定した後、MeshLabを用いてプラント形状のスケールを補正する。そこで、本研究では、既存設備モデリングシステムを評価するため、レーザー距離計で得た2点間距離を用いて、移動計測式スキャンシステムで得た会議室の形状をスケール補正し、スケール補正に使用していない2点間距離の測定誤差を取得した。

### 2. 3 評価結果

移動計測式スキャンシステムを用いて、縦方向の2点間距離の測定誤差と横方向の2点間距離の測定誤差を取得した結果を図7に示す。縦方向の2点間距離の最大測定誤差は306 mm であり、平均測定誤差は273 mm であり、標準偏差は24.5 mm であった。また、横方向の2点間距離の最大測定誤差は577 mm であり、平均測定誤差は463 mm であり、標準偏差は50.9 mm であった。

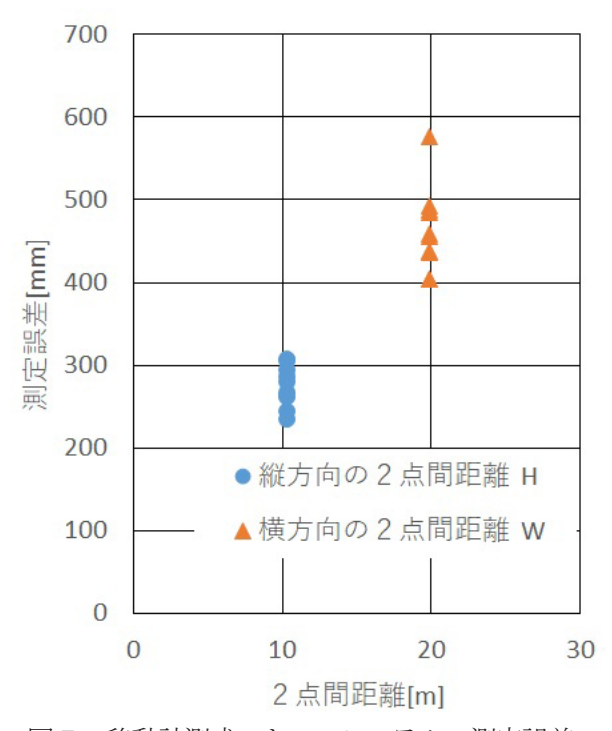


図7 移動計測式スキャンシステムの測定誤差

なお、レーザー距離計を用いて、縦方向の2点間距離 H と横方向の2点間距離 W を3回測定した結果、縦方向の2点間距離はH=10.398±0.001 mであり、横方向の2点間距離はW=19.880±0.001 mであった。

また、レーザー距離計で得た横方向の2点間距離を 用いて移動計測式スキャンシステムで得た会議室の形状をスケール補正し、縦方向の2点間距離の測定誤差 を取得した結果と、レーザー距離計で得た縦方向の2 点間距離を用いて移動計測式スキャンシステムで得た 会議室の形状をスケール補正し、横方向の2点間距離 の測定誤差を取得した結果を図8に示す。

縦方向の2点間距離の最大測定誤差は $80.0 \, \text{mm}$  であり、平均測定誤差は $29.8 \, \text{mm}$  であり、標準偏差は $34.7 \, \text{mm}$  であった。また、横方向の2点間距離の最大測定誤差は $-151 \, \text{mm}$  であり、平均測定誤差は $-56.7 \, \text{mm}$  であり、標準偏差は $66.1 \, \text{mm}$  であった。

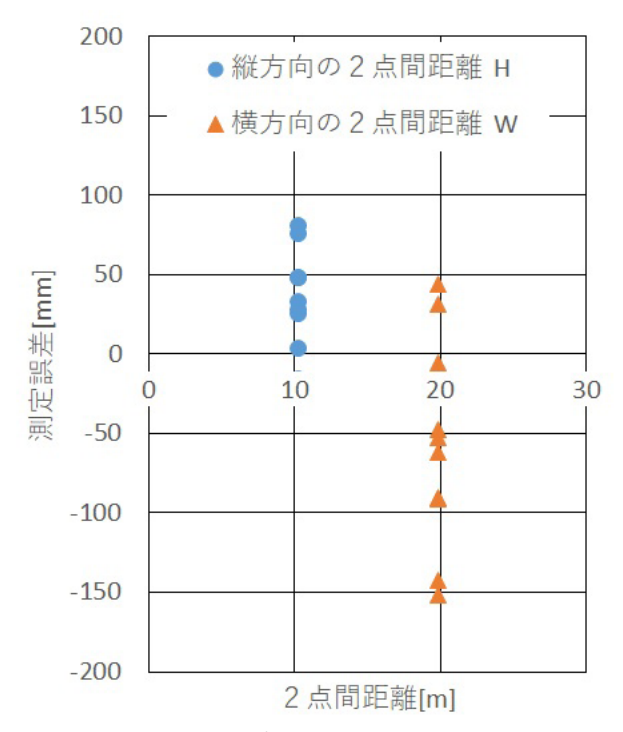


図8 既存設備モデリングシステムの測定誤差

# 2. 4 RGBD カメラ

# 2. 4. 1 評価方法

RGBD カメラの選択と設定を評価するために、移動計測式スキャンシステムを用いて1ショットの測定を行い、JIS B7441 非接触座標測定機の受入検査及び定期検査に従って球間距離測定誤差を評価した。

評価に使用する球間距離測定用標準器は、直径 70 mm の鋼球を鉄板に接着することで作製し、球間距 離測定用標準器の校正値は、球間距離測定用標準器を十分に20±1℃の測定室に置いたうえで、㈱ミツトヨ製三次元測定機 LEGEX9106を用いて3回測定して校正値とした。

また、移動計測式スキャナーを用いた球間距離測定の際も、球間距離測定用標準器を十分に 20±1℃の測定室に置き、球間距離測定用標準器に光沢消し用スプレーをかけ、測定を行った。

なお、RGBD カメラの測定位置は、図9に示す球間 距離測定用標準器に対する角度 $\theta$ 、球間距離測定用標準器までの距離D、球間距離測定用標準器に対する高 さH を変え、B 地点から測定を行った。これらの水準 を表1に示す。

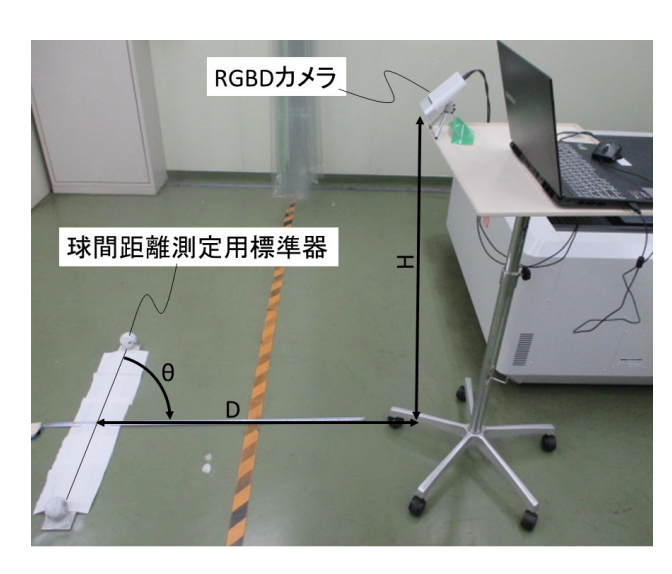


図9 RGBD カメラの測定位置を説明する図

表1 RGBD カメラの位置を示すパラメータ

項目	水準	
角度 θ[°]	90	150
距離 D [mm]	500	1,000
高さ H [mm]	900	1, 200

### 2. 4. 2 評価結果

JIS B7441 非接触座標測定機の受入検査及び定期 検査に従って球間距離測定誤差を評価した結果を 図10に示す。球間距離最大誤差は7.123 mm であり、 平均誤差は5.492 mm であり、標準偏差は1.075 mm であった。また、㈱ミツトヨ製三次元測定機 LEGEX9106 を用いて得た球間距離測定用標準器の 校正値は830.535 ±0.001mm であった。

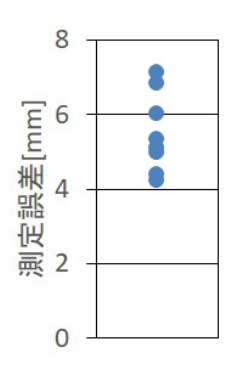


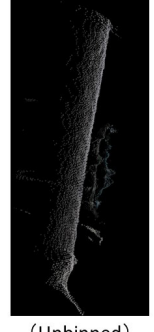
図10 RGBD カメラの評価結果

#### 2.5 考察

2. 3節では、スケール補正により縦方向の2点間距離の最大測定誤差を73.8%、横方向の2点間距離の最大測定誤差を73.8%小さくできた。スケール補正が有効に働くには、どの2点間距離も同様に拡大・縮小している必要があり、①距離精度を求めてAzureKinectDK (ToF法)を選択し、ノイズを減らすために2×2ビニングを行ったので、2. 4. 2項に示すとおり、1ショットの測定バラつき(標準偏差)を1.075 mm とかなり小さくできたこと、②グラフ最適化による合成を行ったので、空間的なバラつきを抑えられたことが、スケール補正が有効に働く原因になったと考えている。なお、2×2ビニングによるノイズの減少は、図11に示す金属円筒面の測定動画を目視評価したことにより確認できている。

なお、既存設備モデリングシステムの縦方向の2点間距離の測定精度が0.800%であり、横方向の2点間距離の測定精度が0.755%であるため、目標とする最低限の精度1%以下を満たすことはできた。次章では、さらなる精度向上のため、「ホログラム合わせ」による増設モデルの調整を検討した。







(Unbinned)

 $(2 \times 2binned)$ 

(測定動画)

図11 2X2ビニングの目視評価

### 3. ホログラム合わせ

## 3. 1 MRを活用したホログラム合わせとは

MR とは、Mixed Realityの略であり、MR ゴーグルのディスプレイにホログラムを投影して現実空間上にホログラムを表示し、MR ゴーグルが現実空間の手の動きや環境を認識して現実空間上のホログラムに影響を与える技術のことである。この MR は、様々な活用が検討されている<sup>[9]</sup>。

本研究では、図12に示すとおり、この MR を活用して設計した増設モデルのホログラムを生成し、現実空間でこのホログラムを用いて嵌め合わせ等を行い、増設モデルの寸法を調整することを試みた。なお、この手法を「ホログラム合わせ」と呼ぶことにする。



図12 ホログラム合わせ

# 3. 2 評価方法

「ホログラム合わせ」では、入力値どおりにホログラムを正確に表示することが課題となる。そこで、ホログラムの表示誤差を評価するために、図13に示す直方体のホログラムを表示するMRゴーグル用アプリを作成し、このMRゴーグル用アプリを用いて実空間に直方体のホログラムを表示して、メジャーでホログラムの長手方向の寸法を測定することにした。

なお、MR ゴーグルは、マイクロソフトコーポレーション製Hololens2 を使用し、作成した MR ゴーグル用アプリは、長手方向の寸法 (入力値) が 5 m、10 m、20 m 、30 m である直方体を表示し、観測者と同じ位置に直方体の端を配置し、観測者の前方に長手方向を

向けるアプリにした。

また、ホログラムの表示の際は、毎回、事前にMR ゴーグルにおいて「近くのホログラムを削除」コマンドを用いて前回のホログラムを削除し、少し立ち位置を変えてホログラムを表示した。さらに、メジャーを用いた寸法測定の際は、自分に近い直方体の端にメジャーの0点を置き、もう片方の端まで移動した後、片目をつぶってメジャーの目盛りを読んだ。これらの作業を各直方体に対して13回ずつ行い、ホログラムの表示誤差を評価した。

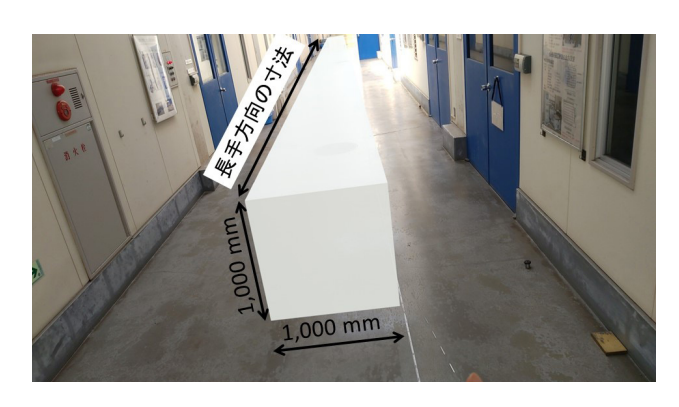


図13 直方体のホログラム

#### 3.3 評価結果

入力値に対するホログラムの表示誤差は、図14のとおりであった。なお、入力値 5 m の最大誤差は 14 mm であり、入力値 10 m の最大誤差は 28 mm であり、入力値 20 m の最大誤差は 154 mm であり、入力値 30 m の最大誤差は 188 mm であった。

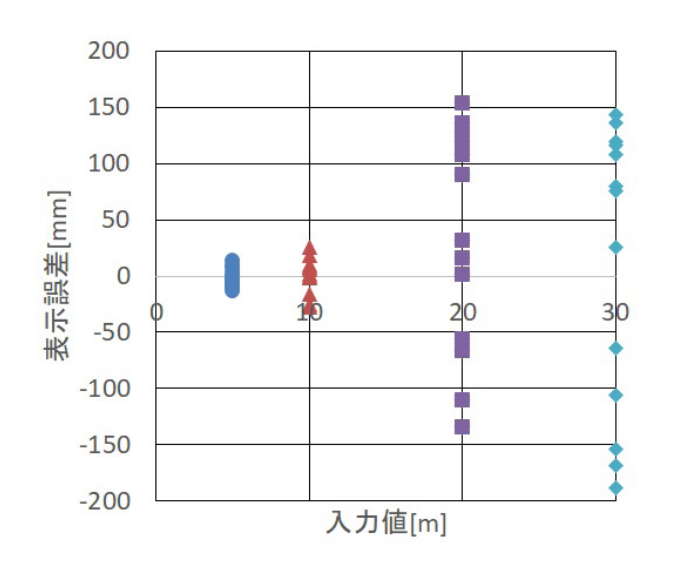


図14 ホログラムの表示誤差

### 3. 4 考察

3.3節のホログラムの表示誤差の結果から、10 m の最大表示誤差は 28 mm であり、2.3節の既存設備モデリングシステムの最大測定誤差が 80.0 mm であることから、10 m 以下の増設モデルに対してホログラム合わせは有効利用できると考えられるが、20 m の最大表示誤差は 154 mm と急激に大きくなっており、既存設備モデリングシステムの最大測定誤差が151 mm であるため、20 m 以上の増設モデルに対してホログラム合わせは有効利用が難しいと考えられる。また、一度ホログラムを測定し、この結果をもとに補正することが考えられるが、図14に示すとおり、20 m、30 m の表示誤差の平均値は0に近く、バラつきが大きいため、補正は難しいと考えられる。

### 4. 結言

本報では、試作した「既存設備モデリングシステム」 を評価し、提案する「ホログラム合わせ」を評価した。 この結果を以下にまとめる。

- ① RGBD カメラで得た形状をグラフ最適化によって合成し、この合成結果をリファレンスで補正する「既存設備モデリングシステム」を評価した。この結果、測定精度は0.800%であり、目標とする測定精度1%を満足することができた。
- ② 提案する「ホログラム合わせ」を評価した結果、 10 m 以下のホログラムの場合、表示誤差は 0.28%で「既存設備モデリングシステム」の 測定精度より小さいため、「既存設備モデリングシステム」の後工程として「ホログラム合わせ」を活用できそうである。しかし、20 m 以上のホログラムの場合、表示誤差が 0.77 %と 跳ね上がり、活用は難しい。
- ③ 今後は、開発したシステムを県内企業に提供し、 各県内企業の事業に適用できるか実証試験を 行う。

### 参考文献

- [1] https://www.meshlab.net/, Acccessed 2023.
- [2] R. Newcombe, S. Izadi, O. Hilliges, D. Molyneaux, D. Kim, A. Davison, P. Kohli, J. Shotton, S. Hodges, A. Fitzgibbon, "KinectFusion: Real-Time Dense Tracking", Mapping and 10th International Symposium on Mixed and Augmented Reality, ISMAR 2011, Basel, Switzerland, October 26-29, 2011.
- [3] Radu Bogdan Rusu and Steve Cousins, "3D is here: Point Cloud Library (PCL)", IEEE International Conference on Robotics and Automation (ICRA), Shanghai, China, May 9-13, 2011.
- [4] Szymon. R and Marc. L, "Efficient Variants of the ICP Algorithm", Proceedings Third International Conference on 3-D Digital Imaging and Modeling, Quebec City, QC, Canada, pp. 145-152, 28 May 2001 - 01 June 2001.
- [5] 小楠進一: プラント増設業務における既存設備モデリングシステムの開発、長崎県工業技術センター研究報告書、No. 52, pp. 10-12, 2023.
- [6] https://github.com/qt, Acccessed 2023.
- [7] https://github.com/introlab/rtabmap, Accessed 2023.
- [8] Rainer Kuemmerle, Giorgio Grisetti, Hauke Strasdat, Kurt Konolige, and Wolfram Burgard, "g2o: A General Framework for Graph Optimization", IEEE International Conference on Robotics and Automation (ICRA), Shanghai, China, May 09-13, 2011.
- [9] https://www.microsoft.com/ja-jp/hololens/in dustry-manufacturing, Accessed 2023.